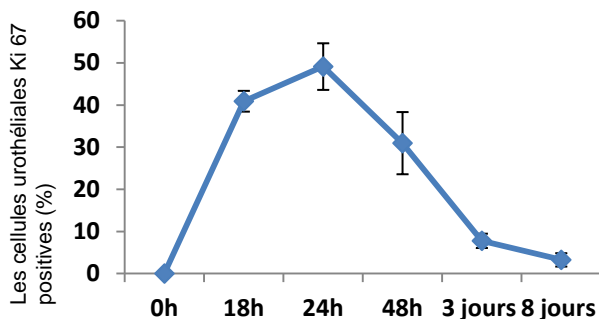
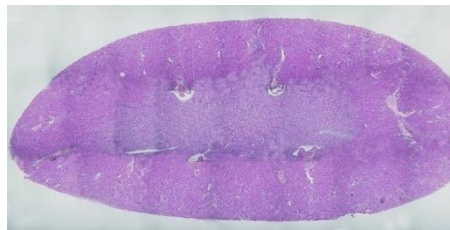
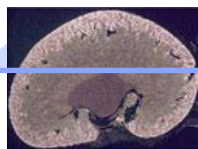


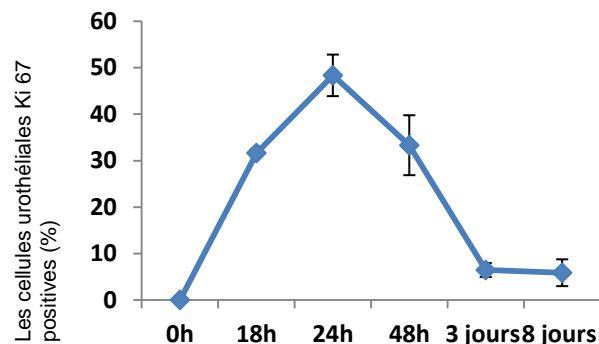
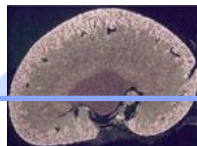
Figure 1. Reproductibilité et cinétique de prolifération des cellules urothéliales intrarénales au décours de l'IR

Niveau 1



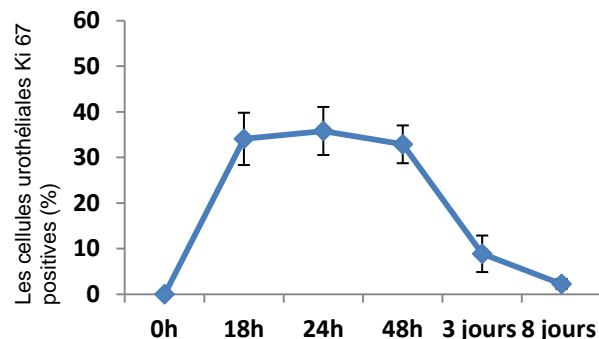
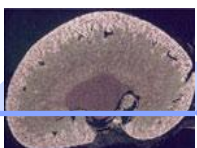
NIVEAU 1	0h	18h	24h	48h	3 jours	8 jours
RUC						
% de prolifération	0	31,6	48,4	33,3	6,4	5,8
ecart type	0	0,8	4,5	6,5	1,5	2,9
IC 95%	0	30,0 - 33,3	39,4 - 57,3	20,4 - 49,2	3,4 - 9,4	0,1 - 11,6

Niveau 2



NIVEAU 2	0h	18h	24h	48h	3 jours	8 jours
RUC						
% de prolifération	0	40,9	49,1	30,9	7,8	3,3
ecart type	0	2,5	5,5	7,4	1,7	1,6
IC 95%	0	35,0 - 45,8	38,1 - 60,2	16,2 - 45,7	4,3 - 11,2	0,1 - 6,4

Niveau 3



NIVEAU 3	0h	18h	24h	48h	3 jours	8 jours
RUC						
% de prolifération	0	34,1	35,8	32,9	8,9	2,3
ecart type	0	5,7	5,3	4,1	4,0	1,1
IC 95%	0	22,0 - 45,5	25,3 - 46,3	24,6 - 41,2	0,9 - 16,9	0,1 - 4,4

IC 95% - intervalle de confiance à 95 %

RUC – cellules urothéliales intrarénales (*rénale urothelial cells*)

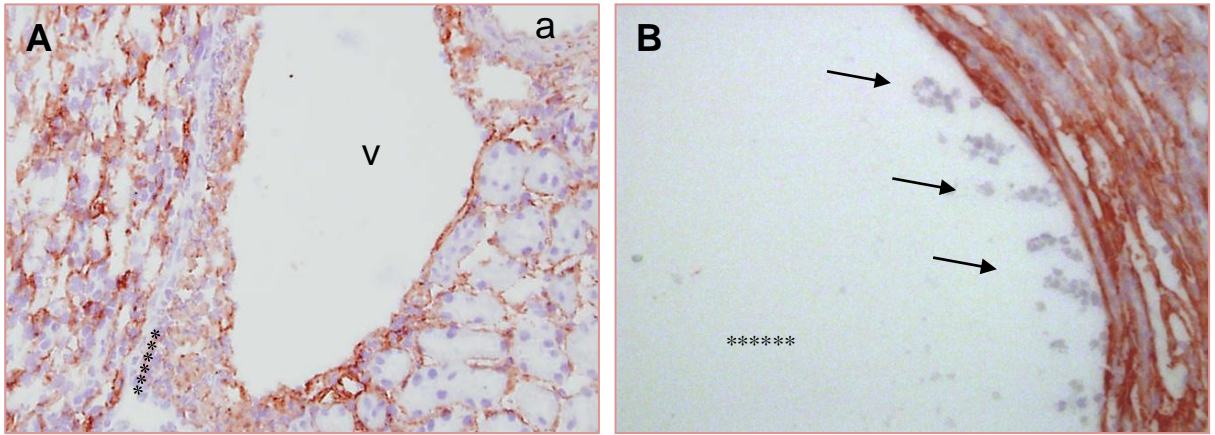


Figure 2.

A. Les espaces urinaires (*****) quasiment virtuels dans le rein normal sur les coupes congelées. (a – artère; v – veine)

B. La dilatation des espaces urinaires (*****) et la desquamation des cellules urothéliales indiquées par les flèches avec une dénudation de la membrane basale au deuxième jour de l'UUO. L'immunohistochimie, anticorps anti-collagène IV, grossissement x 400.

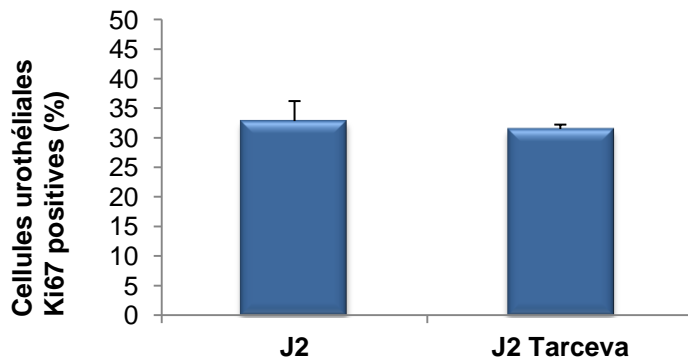
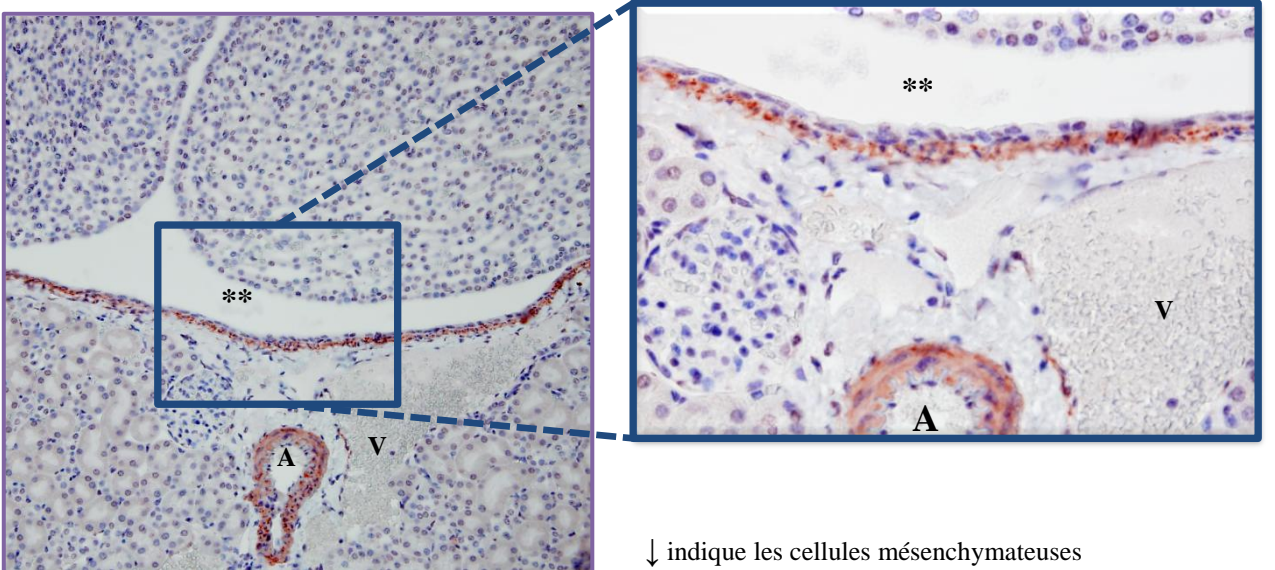
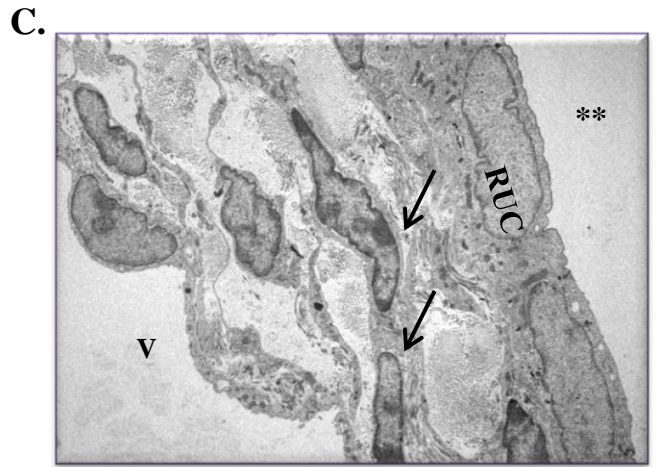
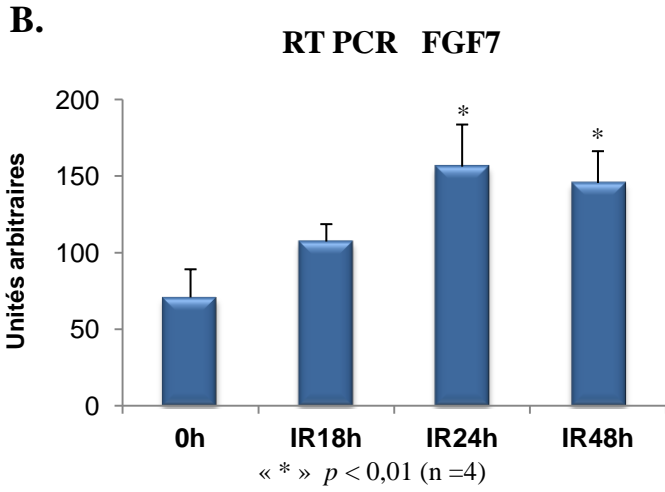
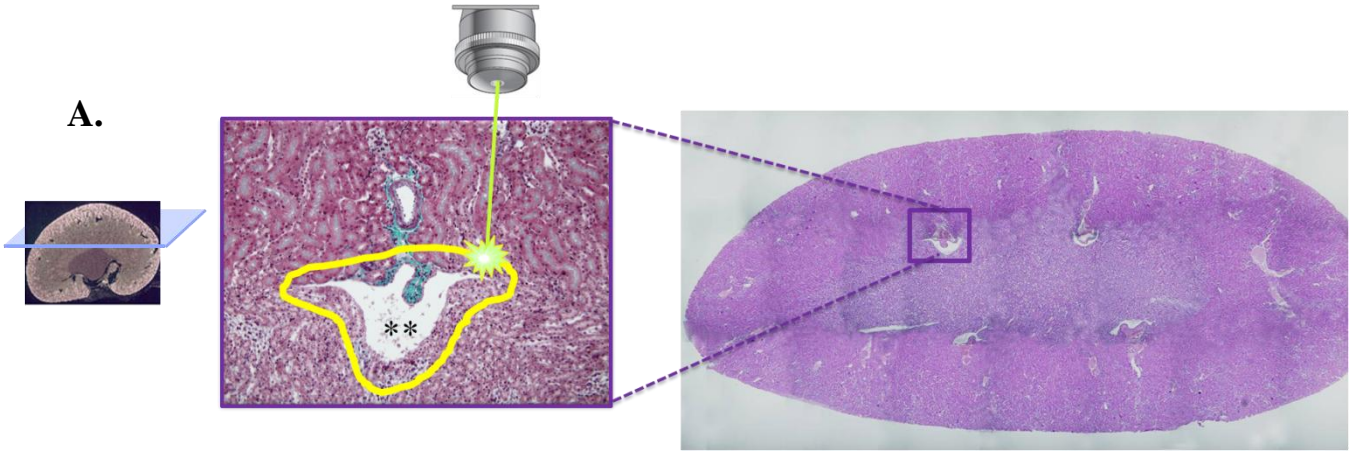


Figure 3.

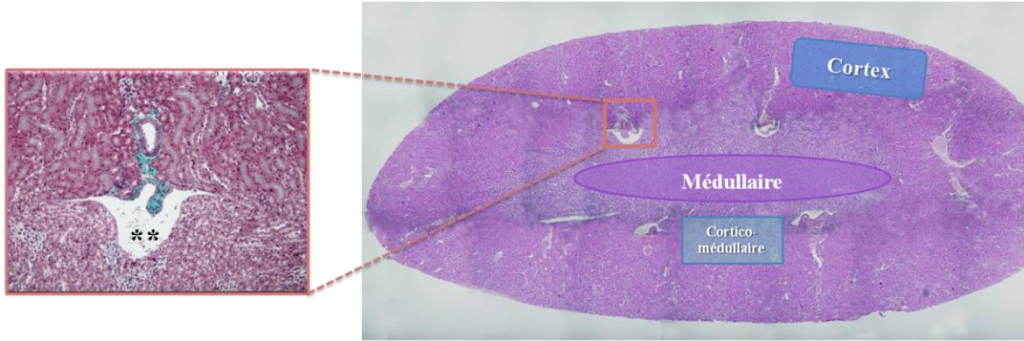
Absence de l'inhibition de la prolifération des cellules urothéliales intrarénales dans le modèle de l'UUO, chez les souris prétraitées par Tarceva (n=3 animaux par groupe ; les différences de valeurs entre les deux groupes ne sont pas significatives)

Figure 4 FGF7 et IR

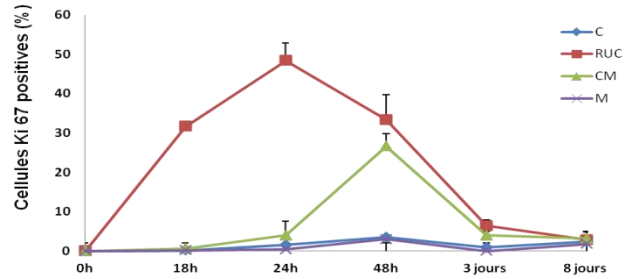
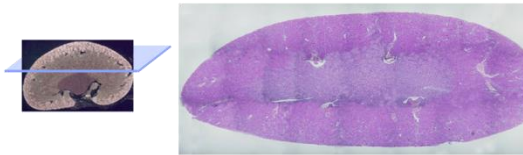


↓ indique les cellules mésenchymateuses
 RUC – cellules urothéliales intrarénales (*renal urothelial cells*)
 V – veine
 ** – espaces urinaires
 A – artère
 MI – Médullaire interne

Figure 5 Reproductibilité et cinétique de prolifération des cellules urothéliales intrarénales et tubulaires au décours de l'IR

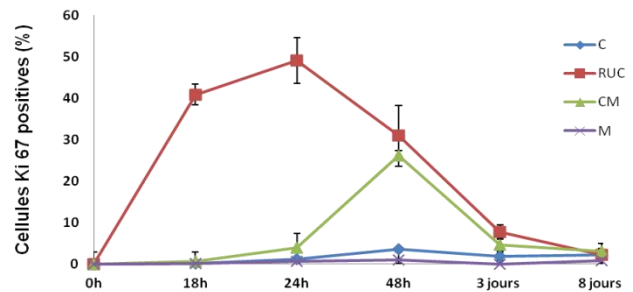
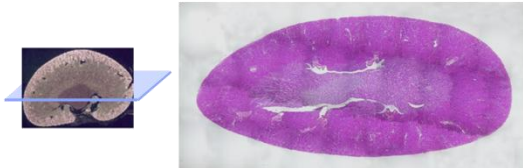


Niveau 1



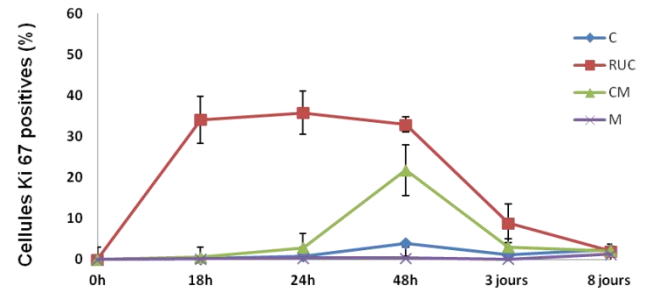
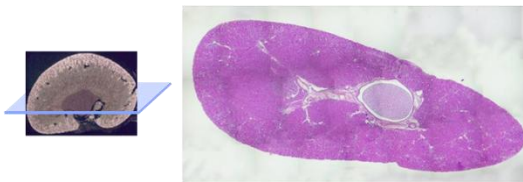
NIVEAU 1	0h	18h	24h	48h	3 jours	8 jours
Tubules CM (%)	0	0,60	3,95	26,57	3,92	3,15
ecart type	0	0,23	1,62	3,18	1,07	1,52
IC 95%	0	0,13-1,07	0,7-7,2	20,21-32,9	1,77-6,09	0,09-6,21

Niveau 2



NIVEAU 2	0h	18h	24h	48h	3 jours	8 jours
Tubules CM (%)	0	0,60	4	26,19	4,58	3,01
ecart type	0	0,20	3,41	1,18	1,59	1,02
IC 95%	0	0,19-1,0	0-10,8	23,8-28,57	1,39-7,76	0,95-5,06

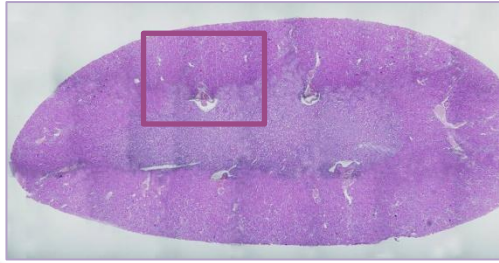
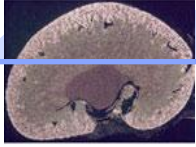
Niveau 3



NIVEAU 3	0h	18h	24h	48h	3 jours	8 jours
Tubules CM (%)	0	0,522	2,85	21,795	3,04	2,15
ecart type	0	0,13	3,57	6,16	2,07	1,59
IC 95%	0	0,25-079	0-10	9,45-34,13	0-7,18	0-5,34

Figure 6 Ischémie-reperfusion avec et sans IRA

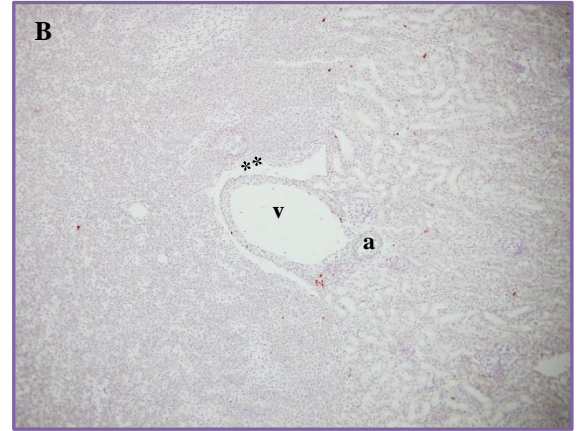
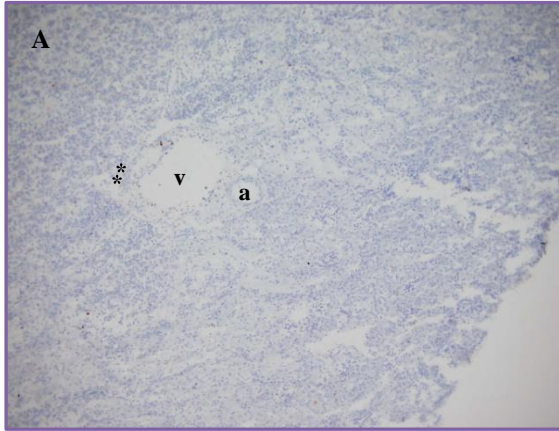
Niveau 1



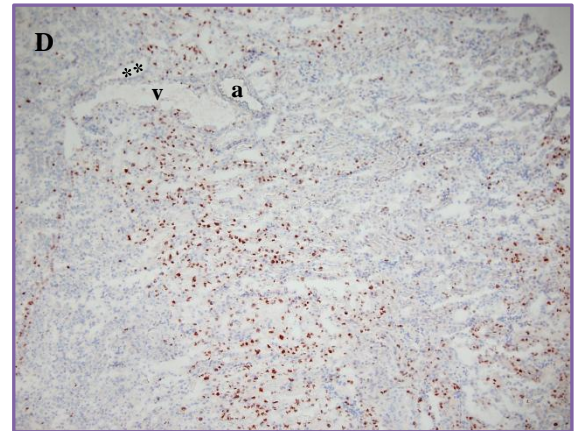
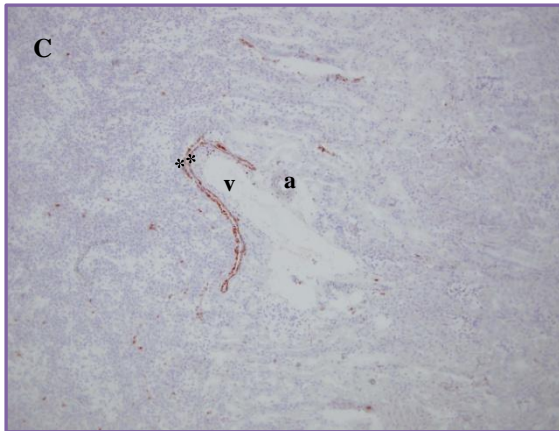
24h

48h

Néphrect.
IR



FGF7,
Néphrect.
IR



IR

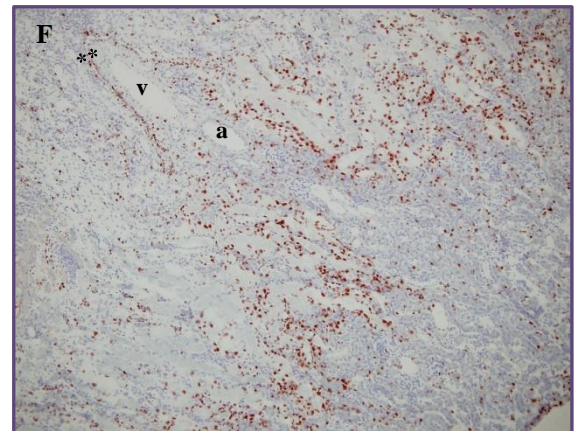
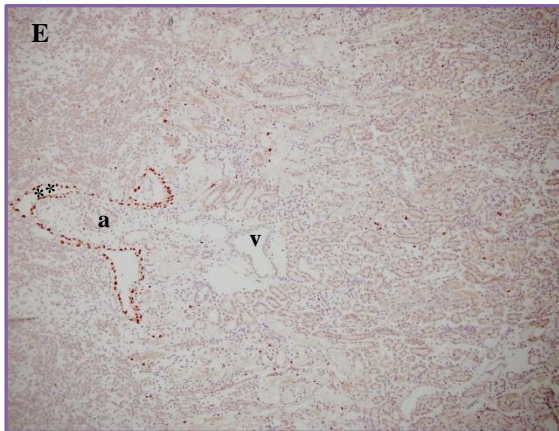


Figure 7. Prolifération des cellules urothéliales intrarénales

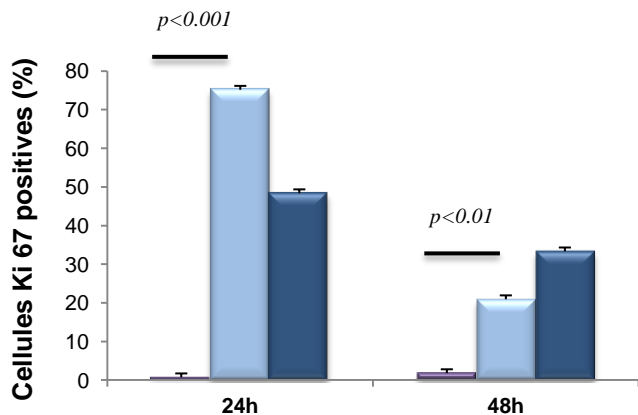


Figure 8. Prolifération des cellules tubulaires (cortico - médullaires)

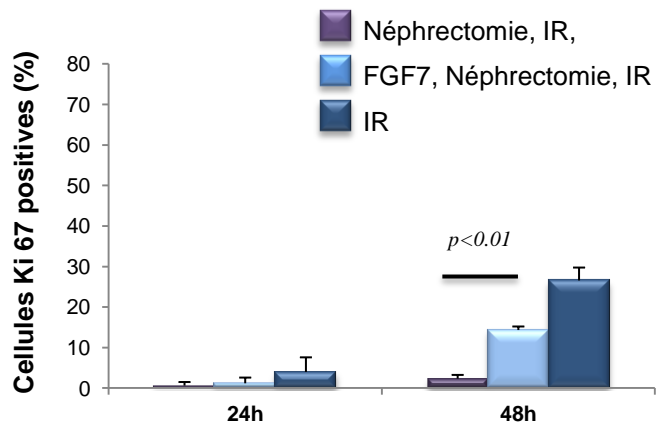


Figure 9. RT PCR FGF7

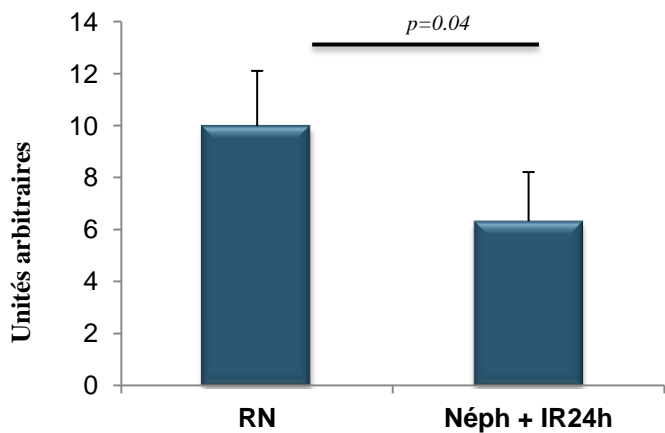


Figure 10. Urée plasmatique

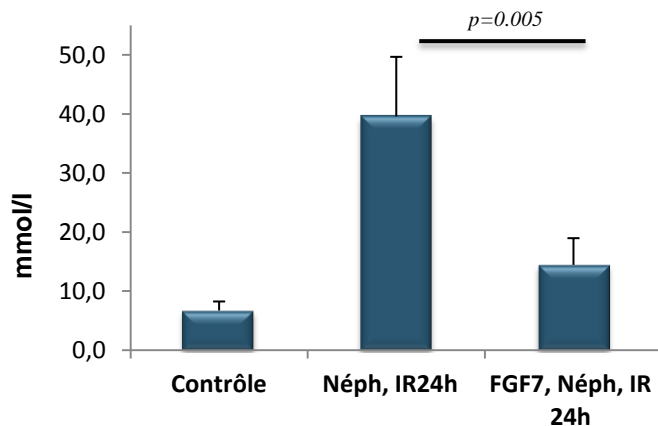


Figure 11. Dilatation tubulaire

